Harmic University

مجلة العلوم والتطبيقات الهندسية

Journal of Science and Engineering Application ISSN 2521-3911

Volume: 7

Effect of Leaching of Gypseous Soil on Compressibility for Both Undisturbed and Compacted Soil

تاثير غسل التربة الجبسية على الخاصية الانضغاطية لتربة طبيعية غير مشوشة وأخرى مرصوصة

حنان رياض جارالله الرفاعي / مدرس مساعد / كلية العلوم البيئية / قسم تقانات البيئة / جامعة الموصل Hanan Riyadh Jarallah Al-Rifa'i / Assistant Lecturer / College of Environmental Sciences / Department of Environmental Technologies / University of Mosul Hanan.jarallah@uomosul.edu.iq

Abstract

This study include the effect of leaching on the engineering properties especially compressibility characteristics; In addition of the gypesous soil containing (35.5, 27%) gypsum. The engineering properties of these two soils were first studied, which included determining (the index properties and compaction properties of the soil) for both natural and compacted cases; The washing process was also conducted for the natural and compacted soils to study the effect of this process on the engineering properties of this soil, especially the compressibility. The result showed that the increase of gypsum content in the soil result in the increase of the maximum dry density, giving better consolidation properties due to the decrease in the value of the initial void ratio (e0), also the decrease in both of the compression index (Cc) and the coefficient of consolidation (Cv); The results of washing also showed the transformation of the soil after the washing process into a very soft soil with a moisture content higher than the liquidity limit (L.L), such that it is difficult to prepare non-distorted models for the purpose of studying the properties of joining; In addition to an increase in the value of the initial void ratio (e0) after washing the soil. Undisturbed and there was a decrease in this value for compacted (and partially hydrated) soil, and washing led to an increase in the value of the liquidity limit (L.L) and the plasticity limit (P.L) with the increase of the washing period.

Keyword: Gypseous Soil, Leaching soil, Compressibility characteristics, collapsible soil

الملخص

تضمن هذا البحث دراسة تأثير عملية الغسل على الخاصية الانضغاطية للتربة الجبسية، إذ تم اختيار تربة جبسية وبنسبتين مختلفتين هما (35.5,27%) ومن نفس المنطقة، وقد تم أو لا دراسة الخصائص الهندسية لهاتين التربتين والتي اشتملت على تحديد (الخصائص الدليلية وخصائص الرص للتربة) ولكلا الحالتين طبيعية ومرصوصة، كذلك أجريت عملية الغسل للتربة الطبيعية والمرصوصة لدراسة تأثير هذه العملية على الخصائص الهندسية لهذه التربة وخاصة الانضغاطية.

أظهرت النتائج أن زيادة المحتوى الجبسي في التربة يعمل على زيادة الكثافة الجافة العظمى، فضلا عن أن تزايد المحتوى الجبسي يؤدي إلى تحسين خواص الانضمام إذ يعمل على تقليل قيمة نسبة الفراغات الأولية (eo) وكذلك تقليل قيمة كل من دليل الانضغاط ("Cc") و معامل الانضمام ("Cv")، كذلك أظهرت نتائج الغسل أيضا تحول التربة بعد عملية الغسل إلى تربة رخوة جدا ذات محتوى رطوبي أعلى من حد السيولة (L.L) بحيث يصعب تحضير نماذج غير مشوشة لغرض دراسة خصائص الانضمام، فضلا عن حصول زيادة في قيمة نسبة الفراغات الأولية (eo) بعد الغسل للتربة غير المشوشة وحصول نقصان في هذه القيمة للتربة المرصوصة (والمميأة جزئيا)، كما ان الغسل أدى الى حصول زيادة في قيمة حد السيولة (L.L) وحد اللدونة (P.L) مع زيادة فترة الغسل.

الكلمات المفتاحية: التربة الجبسية ,غسل التربة, الخاصية الانضغاطية، خاصية التداعي.



Journal of Science and Engineering Application ISSN 2521-3911

Volume: 7

١ . المقدمة

تعتبر التربة الجبسية تربة قوية ومتماسكة في الحالة الجافة نتيجة لوجود مادة الجبس بين حبيباتها لكن عند جريان الماء خلالها او تشبعها بمياه الإمطار ستحدث انهيارات مفاجئة نتيجة لغسل الجبس من التربة تاركا فر اغات فيها (خضير، ٢٠١٨). إنّ معظم أنواع الترب في العراق تحتوي على أنواع مختلفة من الأملاح في تركيبها، ويعد الجبس أكثر الأملاح انتشارا في هذه الترب، إذ تتغير نسبة الجبس فيها ما بين (190%-1). وتعد التربة الجبسية من الترب الواسعة الانتشار في العالم وتتركز في المناطق الجافة وشبه الجافة الجبس فيها ما بين (190%-1). وتعد التربة الجبسية من الترب الواسعة الانتشار في العالم وتتركز في المناطق ذات معدل عندما تكون كمية الأمطار المتساقطة غير كافية لغسل الجبس من التربة. وقد وجد كل من (1971) المناطق ذات معدل الأمطار الواطئ، إذ تكون كمية الأمطار المتساقطة غير كافية لغسل الجبس من التربة. وقد وجد كل من (1971) أن التربة الجبسية في العالم تغطي مايقارب (850,000 km²)، أما في العراق فتتركز معظم الترب الجبسية في المنطقة الشمالية الغربية إذ أنها تحوي على مادة الجبس بنسبة عالية، وتعتبر هذه التربة من الترب ذات المتانة الجبية الرابطة لحبيباتها والناتجة من وجود الجبس مما يؤدي إلى زيادة الانصغاطية ونقصان قوة القص لهذه التربة، وبذلك تتحول إلى تربة متداعية وبالتالي حصول مشاكل للمنشآت المقامة على هذا النوع من الترب والتي تعددت من التشقق، الميلان، الهبوط، التربة مع بعضها البعض مما مانع وصول الماء إلى هذه التربة لما حدثت مثل هذه المشاكل بل مادة الجبس تعمل على ربط جزيئات التربة مع بعضها البعض منه يؤدي إلى تكوين هيكل التربة القوي وزيادة قوة التحمل، ولكن هذا غير ممكن من الناحية العملية. لذا يمكن القول ان تعرض التربة يمكن أن يؤدي إلى التجاهل مع التربة الجبسية يمكن أن الجبسية للماء يسبب انخفاض قوة قص هذه التربة عند تسرب الماء داخل مساماتها ، لذلك فإن التعامل مع التربة الجبسية يمكن أن ينصب في اتجاهين (القيسي، دائي):

ا. منع تغلغل المياه داخل التربة الجبسية، أو منع إمكانية جريان المياه المتغلغلة داخل التربة في حالة عدم إمكانية منع تغلغلها للسيطرة على ظاهرة غسل التربة (Leaching).

تعديل سلوك التربة (زيادة المقاومة وتقليل الانضغاطية) لجعلها اقل تأثرا بالمياه المتسربة داخل التربة.

ويعد الجبس من الأملاح التي لها القابلية على الذوبان في الماء، إذ يبلغ مقدار ذوبانه (2.41غرام/لتر) عند درجة حرارة (°Robert, 1975) (20C°)، والجبس عبارة عن كبريتات الكالسيوم المتميئة أو غير المتميئة تتخذ حبيباته شكلا متبلورا أو غير متبلور تبعا لظروف تكوينه، ويمتاز الجبس بقلة وزنه النوعي نسبيا وقابليته على التحلل عند انغماره بالمياه، كذلك قد ترجع عملية تغير انتشار الجبس بين طبقات التربة على الأرجح إلى تفتيت الكتل الجبسية ومن ثم انتقالها مع تيارات المياه السطحية أو الجوفية، وتعتمد كمية مايتحلل من الجبس على عوامل عدة أهمها كمية وسرعة جريان المياه ودرجة الحرارة وشكل الطبقات الجبسية ومقدار مساحتها السطحية والفترة الزمنية التي تتعرض بها إلى المياه (James & Lupton 1978). ومن الجدير بالذكر أن المياه تعمل عند إحاطتها بايونات الكالسيوم (الموجبة) والكبريتات (السالبة) على إضعاف القوى الرابطة بين تلك الايونات، ونتيجة لذلك فهي تصبح أكثر عرضة للانسلاخ من مواقعها الأصلية وتنتقل مع تيارات المياه إلى مواقع أخرى عندما تستقر المياه أو تتبخر تاركة خلفها طبقات من المواد الجبسية، إن عملية التحلل هذه تقترن عادة بزيادة في نسبة فراغات التربة وبالتالي زيادة في قابليتها على الانضمام(الدليمي، ١٩٨٩)، لهذا يعتبر وجود الجبس تحت أسس المنشآت الهيدروليكية غاية في الخطورة على سلامة تلك المنشأت. تعدّدت الدراسات حول تأثير زيادة نسبة الجبس في التربة على الخواص الدليلية وخاصة حدود اتربرك (Atterberge limit)، فقد وجد (Al-Obydi, 1992) حصول زيادة في قيم حد السبولة (L.L) وكذلك دليل اللدونة (P.I) مع زيادة نسبة الجبس في التربة. في حين توصل كل من (AL-Dabbagh & Hammo, 1990) عند دراسة تأثير زيادة نسبة الجبس في نو عين من الترب احدهما كانت نسبة الجبس ضئيلة جدا والأخرى معدومة أن الكثافة الجافة العظمي للتربتين تقل وبشكل واضح مع زيادة نسبة الجبس المضاف مع از دياد المحتوى الرطوبي الأمثل وقد يعود السبب إلى أن الجبس يتحول عند سحقه إلى حبيبات ناعمة جدا وان هذه الزيادة في كمية تلك الحبيبات في أية تربة تؤدي إلى تقليل درجة الرص لهذه

لقد اختلفت الأراء حول تأثير الجبس على انضغاطية التربة، فقد أشارت تجارب (Ramiah, 1982) إلى ثلاثة أنواع من الترب الجبسية هي البنتونايت والكاؤلانايت والطينية الرملية، إذ لاحظ أن دليل الانضغاطية (30) للتربة الأولى يقل بزيادة المحتوى المحتوى الجبسي في حين أن قيمة هذا الدليل للتربة الثانية والثالثة يقل عند المحتوى الجبسي (3%) ثم يزداد بزيادة المحتوى الجبسي، أما قيمة معامل الانضمام (CV) فقد انخفضت عند إضافة (3%) جبس للتربة وارتفعت عندما تجاوزت نسبة الجبس في التربة تلك النسبة، أمّا الدراسة الموقعية التي قام بها (1978, Boldyriv, 1978) باستخدام صفيحة التحميل بينت أن انضغاطية التربة الجبسي فضلا عن فترة وتركيبها المعدني ومحتواها الجبسي فضلا عن فترة انغمارها بالماء. ولاحظ كل من (CV) المربة (CV) لتربة الغمارها بالماء. ولاحظ كل من (Singh & AL-Layla, 1979) زيادة دليل الانضغاط (CC) ومعامل الانضمام (CV) لتربة



Journal of Science and Engineering Application ISSN 2521-3911

Volume: 7

القيارة بسبب عملية الغسل وقد ارجعا سبب زيادة انضغاطية التربة نتيجة عملية الغسل الى انحلال روابط التماسك بين حبيبات التربة.

٢. الهدف من الدراسة

- ١. دراسة الخواص الهندسية لتربة منطقة المحلبية ذات المحتوى الجبسي (35.5,27%) والتي شملت مايأتي:-
 - ❖ تحديد الخصائص الدليلية.
 - ❖ تحدید خصائص الرص.
 - ❖ تحديد خصائص الانضمام للتربة وذلك بإجراء تجربة الانضمام.
 - ٢. إجراء عملية غسل التربة لكلا الحالتين غير المشوشة والمرصوصة.
- ٣. دراسة تأثير عملية الغسل على الخصائص الهندسية للتربة الطبيعية والمرصوصة وخاصة الانضغاطية وذلك بإجراء فحص
 الانضمام

٣. المواد وطريقة العمل

التربة المستخدمة في هذه الدراسة اختيرت من منطقة المحلبية التي تقع في الجزء الجنوبي الغربي من مدينة الموصل ومن عمق واحد متر، وهي تربة جبسية صنفت على أنها ذات محتوى جبسي عال حسب تصنيف البرزنجي، اما الماء المستخدم في هذه الدراسة فهو الماء المقطر ولكافة التجارب وذلك بالاعتماد على الطريقة القياسية لفحوصات الماء ومياه الفضلات، باستثناء التجربة الخاصة بعملية غسل التربة فقد استخدم ماء الاسالة، ولبيان مدى تاثير الغسل على التربة تم اخذ نوعين من النماذج، نماذج مشوشة وغير مشوشة وغير مشوشة من الموقع المذكور سابقا، بالنسبة إلى النماذج غير المشوشة (الطبيعية) فقد أخذت اسطوانات نماذج مشوشة وغير مشوشة وحسب ماتتطلبه الغاية من اخذ النماذج، واستخدمت قوالب ذات أبعاد ("٤ القطر و "٥ الارتفاع) لإيجاد الكثافة الحقلية والمحتوى الرطوبي الحقلي (حسب المواصفات المذكورة في جدول رقم ١) والتي سيتم اعتمادها في تحضير نماذج غسل التربة الطبيعية والمرصوصة، وأخذت قوالب ذات أبعاد ("٤ القطر و "٨٠٨ الارتفاع) والتي استخدمت في تجربة غسل على التربة الطبيعية والممتوى المختبر لغرض الاستخدام في التجارب المختبرية. حضرت نماذج التربة المرصوصة و طبقات من ورق الالمنيوم وحفظها في المختبر لغرض الاستخدام في التجارب المختبرية. حضرت نماذج التربة المرصوصة و التي استخدمت في عملية الغسل بكثافة مساوية الكثافة الحقلية والمحتوى الرطوبي الحقلي بعد قياسهما مختبريا وكانت قيمتهما على التوالي (التوالي التوالي التوالي (ديا الماذج كالأتي:-

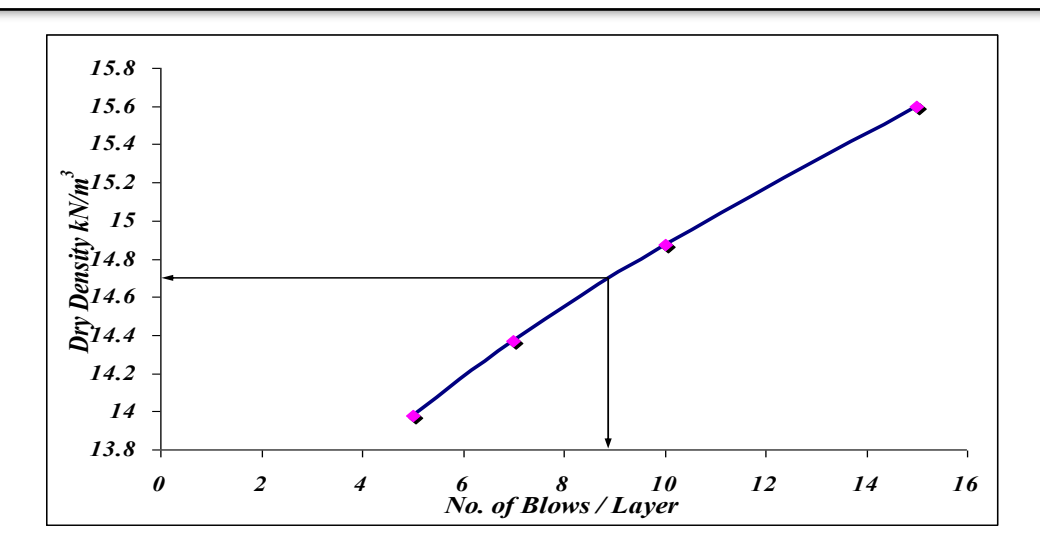
١. حضرت كمية مناسبة من التربة بعد تجفيفها في فرن بدرجة حرارة (60c°) ولمدة يومين، ومن ثم وزنها وبعدها إضافة كمية مناسبة من الماء بحيث يجعل المحتوى الرطوبى التربة مساويا لنسبة الرطوبة الطبيعية كما هو عليه بالحقل.

٢. القيام بعملية رص التربة باستخدام مطرقة الرص القياسية و قالب خلية الغسل ذو الأبعاد ("٤ القطر و "٢,٨ الارتفاع) لكي يتم ربطها مباشرة إلى جهاز الغسل، و تم تغيير عدد الضربات للحصول على نموذج بكثافة مقاربة للكثافة الحقلية إذ تراوح مدى الضربات (15-5) ضربة، ورسمت العلاقة بين عدد الضربات مع الكثافة الجافة المستحصلة وكما مبين في الشكل (١) ووجد أن عدد الضربات المناسب لتحضير نموذج وفق الكثافة الحقلية هو (8-8.8) ضربة وبمعدل طبقتين لكل نموذج.

To samie University

مجلة العلوم والتطبيقات الهندسية Journal of Science and Engineering Application ISSN 2521-3911

Volume: 7



الشكل (١) العلاقة بين عدد الضربات لكل طبقة مع الكثافة الجافة المستحصلة

٤. الفحوصات التي أجريت على نماذج التربة

1.4 الفحوصات المختبرية

أجريت عدد من الفحوصات الفيزيائية والكيميائية والهندسية على نماذج التربة الطبيعية وحسب المواصفات القياسية المؤشرة إزاء كل منها وكما مبينة في (الجدول ١) الذي يوضح قائمة بأسماء الفحوصات ورقم المواصفة المستخدمة في البحث.

جدول ١: أسماء الفحوصات ورقم المواصفة المستخدمة في البحث.

| ₩ | , | | |
|---------------------------------------|-----------------|---------------------------------|---------------------|
| المواصفة | الرمز | أسم الفحص | نوع الفحص |
| ASTM D2216-80, ASTM D2927-71 | Ydry Wc | الكثافة الجافة والمحتوى الرطوبي | |
| ASTM D424-29, D423-66 | L.L,P.L | حدود اتربرك (حد السيولة | |
| | | واللدونة) | الفحوصات الفيزيائية |
| ASTM D854-58 | Gs | الوزن النوعي | |
| ASTM D422 | Grain size | التحليل الحجمي للتربة | |
| | Analysis | | |
| Earth Manual, 1968 | T.S.S | الأملاح الذائبة الكلية | |
| USAD-Agricultural Handbook No.60,1954 | Gypsum | نسبة الجبس | الفحوصات الكيميائية |
| | content | | |
| B.S:1377-1975 | SO ₃ | أملاح الكبريتات | |
| ASTM D1557 | | فحص الرص | الفحوصات الهندسية |
| ASTM D2435-70 | | فحص الانضمام | |

The district of the state of th

مجلة العلوم والتطبيقات الهندسية Journal of Science and Engineering Application ISSN 2521-3911

Volume: 7

2.4. فحص الغسل: والذي يتكون من خلية الغسل (Leaching Cell) وخزان الماء (water tank) وكما موضح في الشكلين (٣٠٢).



الشكل ٣. خلية وخزان الغسل

الشكل ٢. تفاصيل خلية الغسل

3.4. الفحوصات المختبرية التي أجريت على نماذج التربة بعد عملية الغسل:

بعد الانتهاء من عملية غسل التربة للنماذج الطبيعية والمرصوصة تم إجراء عليها الفحوصات المختبرية الآتية:-

- 1. الخواص الدليلية للتربة (Index Properties).
 - ٢. فحص الانضمام (Consolidation Test)
 - ٣. فحص نسبة الجبس (Gypsum content)

4.4. الفحوصات التي أجريت على الماء المار في أثناء الغسل هي -

نسبة الجبس من خلال إجراء فحص عسرة الكالسيوم باستخدام طريقة التسحيح وذلك بالاعتماد على الطريقة القياسية لفحوصات الماء ومياه الفضلات , (Standard methods for examination of water and waste water procedures) الماء ومياه الفضلات , (48 , 24) ساعة.

5. نتائج الفحوصات والمناقشة

الجدول (٢) يبين نتائج الفحوصات الفيزيائية والكيميائية التي تم اجرائها لتربة منطقة المحلبية اذ تم اخذ نموذجين من هذه التربة (A,B) وإيجاد الخصائص من حيث حدود اتربرك ونسبة الجبس والاملاح الذائبة الكلية .

جدول ٢ خصائص التربة الطبيعية المستخدمة في البحث

| Soil (B) | Soil (A) | (Property)الخاصية | | | | |
|----------|----------|--------------------------|----------------------------------|--|--|--|
| 77 | 77 | حد السيولة (L.L) (%) | 7. 711\ 4 . 7 . x | | | |
| ١٤ | ١٧ | حد اللدونة (P.L) (%) | حدود أتربرك (للتربة الطبيعية) | | | |
| ١٣ | ٩ | دليل اللدونة (P.I) (%) | الطبيعية) | | | |
| ٤١ | ٧١ | (%) | نسبة الأملاح الذائبة الكلية | | | |
| 27 | ٣٥,٥ | نسبة الجبس (%) | | | | |
| ١,٢ | ۱۹,۸ | Ca(HCO | بيكاربونات الكالسيوم 2(3 | | | |
| 11,11 | ٤,٤٤ | كبريتات المغنيسيوم MgSÓ4 | | | | |



Journal of Science and Engineering Application ISSN 2521-3911

Volume: 7

| 1.15 | ٦,٩٦ | | كلوريد المغنيسيوم MgCl ₂ |
|-------|---------|------------------------------|---|
| 0.56 | ٤,٢٦ | NaCl (| كلوريد الصوديوم (ملح الطعام) |
| ٠,٤ | ٠,٤ | (%) (S | نسبة أملاح الكبريتات -(O3) |
| 0.62* | 0. 284* | | محتوى المواد العضوية (%) |
| ۲,٥٦ | ٢,٤٦ | | الوزن النوعي (Gs) |
| ۲,۲۸ | ۲,۳٤ | مشبع بالجبس والأملاح) | الوزن النوعي (Gs) (محلول ، |
| 7.8 | ٧,٢٨ | | الرقم الهيدروجيني (pH) |
| ۱٦,٨ | 14,0 | (kN/m³)الكثافة الجافة العظمى | القياسية طاقة الرص |
| 10 | ۹,٥ | محتوى الرطوبة المثلى (%) | العياسية صافة الرص |
| ١٨ | 19,1 | (kN/m³)الكثافة الجافة العظمى | طاقة الرص المعدلة |
| 17 | ٧ | محتوى الرطوبة المثلي (%) | طاقة الرض المعدلة |
| ٣٨ | ٤٥ | نسبة الرمل (%) | |
| 77 | ٣٣ | نسبة الغرين (%) | التدرج الحبيبي للتربة المغسولة EDTA واسطة |
| ٣٥ | 77 | نسبة الطين (%) | 3.22 |
| CL | CL-ML | نظام التصنيف الموحد | تصنيف التربة |

^{*} تم إجراء هذا الفحص في كلية الزراعة والغابات/علوم التربة

1.5 الخصائص الهندسية للترية

٥,١,١ الخصائص الدلبلية

يوضح الجدول (٢) الخصائص الدليلية للتربة إذ أظهرت التجارب أن قيمة حد السيولة (L.L) (٣٩) وقيمة دليل اللدونة (٩٩) (٩%) للتربة (A) و (٣٠٥, 27%) لقيمتي حد السيولة ودليل اللدونة على التوالي بالنسبة للتربة (B). أمّا قيمة الوزن النوعي فكانت (2.46) بالنسبة للتربة (A) و (٢،٥٦) للتربة (B) و هاتان القيمتان واطئة نسبيا والسبب في ذلك يعود لنسبة الجبس العالية في التربة إذ أن الوزن النوعي واطئ للجبس. و فيما يخص إيجاد التدرج الحبيبي للتربة، فان محاولة إجراء تحليل المكثاف على التربة الطبيعية لم تتجح وذلك لان الجبس كان يعمل على تكتل وتجمع الحبيبات بعد وقت قصيير على إجراء التجربة لذلك كان لابد من إزالة الجبس وتمت معاملة التربة بمادة ((Di-Sodium (EDTA)) (وهو ملح له فعالية كبيرة في غسل التربة وإزالة الجبس) ((CL-Khashab, وكانت نسبة المواد الطينية هي (CL)) للترب (A) على التوالي والشكل (٤) يبين التدرج الحبيبي للتربة. صنفت التربة على أنها تربة (طينية-غرينية واطئة اللدونة (CL)) حسب نظام التصينيف الموحد للتربة (A) و (تربة غرينية واطئة اللدونة (CL)) للتربة (B, A)، ويوضح الجدول (٢) خصائص التربة (B, A).

٢,١,٥ الخصائص الكيميائية

الخصائص الكيميائية مبينة في الجدول (٢) إذ نلاحظ أن نسبة الأملاح الذائبة الكلية (71%) للتربة (A) و (41%) للتربة (B, A) و أهم هذه الأملاح هي الجبس والتي تصل نسبتها إلى (35.5%, 27%) للتربتين (B, A) على التوالي، أما بقية الأملاح فهي بيكاربونات الكالسيوم (Ca(HCO3)2)، وكبريتات المغنيسيوم (MgCl2)، وكلوريد المغنيسيوم (MgCl2)، وكلوريد الصوديوم (ملح الطعام) (NaCl). أما نسبة المواد العضوية فتبلغ (428%.) للتربة (A) و (62%.) للتربتين (B, A) على التوالي. (B, A) كذلك الرقم الهيدروجيني فقد كان (7.8%, 7.28) للتربتين (B, A) على التوالي.

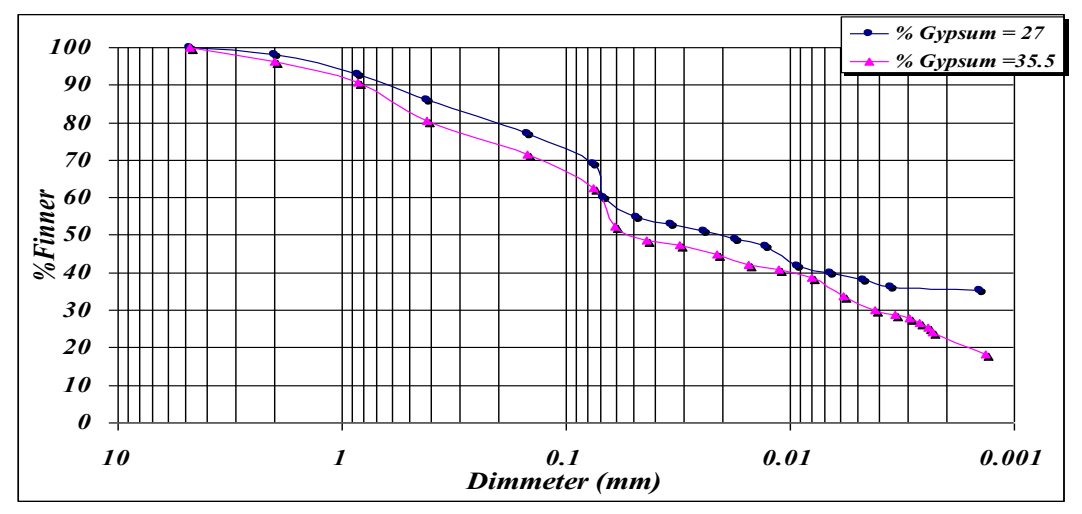
٥, ١, ٥ خصائص الرص

يبين الجدول (٢) والشكل (٥) نتائج فحص الرص القياسي والمعدل للتربة (B, A) على التوالي، إذ نلاحظ أن الكثافة الجافة العظمى بطريقة الرص القياسية هي (18.5kN/m³) عند محتوى رطوبي (9.5%) بالنسبة للتربة (A)، في حين از دادت هذه القيمة إلى العظمى بطريقة الرص القياسية إلى المعدلة، ونلاحظ أيضا أن الكثافة الجافة الرص من القياسية إلى المعدلة، ونلاحظ أيضا أن الكثافة الجافة

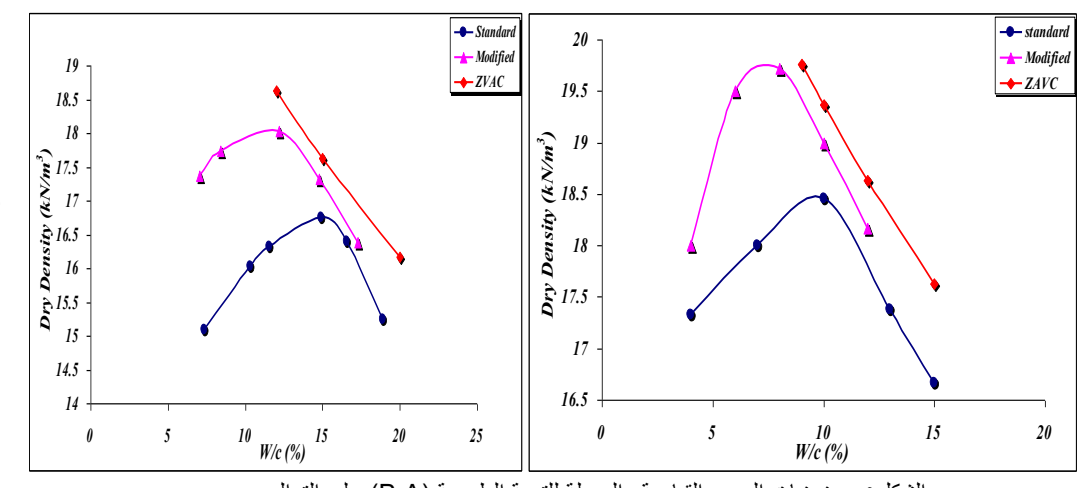


Volume: 7

العظمى للتربة (B) بطريقة الرص القياسية هي (16.8kN/m³) عند محتوى رطوبي (15%)، في حين ازدادت هذه القيمة إلى (١٨kN/m³) عند محتوى رطوبي ((12%) بطريقة الرص المعدلة. ونلاحظ أن الكثافة الجافة العظمى للتربة (A) أعلى مما هي عليه للتربة (B) وقد يعود السبب إلى كون تربة (A) تحوي نسبة من الرمل أعلى من التربة (B) وكذلك تحوي على نسبة من الطين اقل مما هو في التربة (B) وهذه العوامل المذكورة تؤثر على قيمة الكثافة الجافة.



الشكل ٤. منحنى التدرج الحبيبي للتربة الطبيعية المستخدمة في البحث



الشكل٥. منحنيات الرص القياسية والمعدلة للتربة الطبيعية (B,A) على التوالي

٦. تأثير الغسل على خصائص التربة

٦,١ المحتوى الجبسي

1,1,1,1 التربة غير المشوشة: لأجل دراسة تأثير الغسل على نسبة الجبس في التربة غير المشوشة حضرت نماذج تربة غير مشوشة وبنسب مختلفة من الجبس وعرضت لفترات غسل مختلفة و باستعمال شحنتين مختلفتين وبمقدار انحدار هيدروليكيي (i=8) و (i=4)، والجدولين (٤٠٣) تبين نسبة الجبس لهذه النماذج قبل وبعد عملية الغسل للفترات المذكورة، ويلاحظ من هذين الجدولين حصول نقصان بشكل عام في نسبة الجبس داخل التربة مع زيادة فترة الغسل كما أنّ عملية الغسل أدّت إلى ذوبان جزيئات الجبس

ISSN 2521-3911



Volume: 7

داخل نموذج التربة فضلا عن أن مقدار الجبس المتبقي في التربة وكما هو مبين في الجدولين لايعتمد على كمية الماء المارة بالتربة بل هناك عامل أخر و هو طبيعة توزيع الجبس داخل التربة. ويلاحظ من هذين الجدولين أن بعض قيم نسبة الجبس في أعلى النموذج هي أقل من قيمتها في الجزء السفلي منه عند (8=i) وعند (4=i)، والسبب في ذلك يعود إلى حصول حركة بعض جزيئات الجبس من الأعلى أكثر مما في القسم العلوي للنموذج واستقرارها في الجزء السفلي و أن الماء المار بالنموذج له القابلية على إذابة الجبس من الأعلى أكثر مما في الأسفل لكونه قد تشبع جزئيا بالجبس عند إذابة الجبس من الأعلى ولوحظ أيضا أن توزيع جزيئات الجبس داخل النموذج عير متجانسة فضللا عن وجود تكتلات في جزيئات الجبس في بعض المناطق داخل النموذج وهذا ماتم ملاحظته عند تحضير النماذج وربما هذه الظاهرة أدت إلى إفراز بعض النتائج المتضاربة. وأظهرت النتائج أن كمية الجبس المزال لمعظم النماذج المعرضة إلى انحدار هيدروليكي مقداره (4=i) وهذا يعني انه كلما ازدادت سرعة هيدروليكي (8=i) هي أكثر من كميتها للنماذج المعرضة إلى انحدار هيدروليكي مقداره (4=i) وهذا يعني انه كلما ازدادت سرعة المياه المسلطة على النماذج ازدادت كمية الجبس المزال من التربة.

الجدول ٣. يبين تغير قيم نسب الجبس مع الغسل للنماذج غير المشوشة (١=٥)

| س بعد الغسل أسفل الخلية (%) | نسبة الجبس بعد الغسل أعلى الخلية (%) (%) | | Vol. of Leachate (cm3) | فترة الغسل يوم |
|--------------------------------|--|----|------------------------------|-------------------|
| 9 | 5 | 25 | 107950 | ٨ |
| 19 | 12.5 | 25 | 29670 | 10 |
| 25 | 21 | 30 | 87310 | 71 |
| 3 | 2 | 27 | 70980 | ٣. |

الجدول ٤. يبين تغير قيم نسب الجبس مع الغسل للنماذج غير المشوشة (i=٤)

| نسبة الجبس بعد الغسل | | نسبة الجبس | Vol. of | فترة الغسل |
|----------------------|---------------|-------------|--------------------|------------|
| أسفل الخلية % | 0/ 1.1.11 1-1 | قبل الغسل % | Leachate | يوم |
| اسفل الحلية % | أعلى الخلية % | | (cm ³) | |
| 19.5 | 21.5 | 27 | 75919 | ۲ |
| 8 | 10 | 25 | 177.07 | ١٤ |
| 21 | 23 | 26 | 35674 | 10 |
| 16 | 17 | 23 | 195982 | 71 |
| 12 | 14.5 | 21 | 285212 | ۲ ٤ |
| 9.5 | 11.5 | 26 | 208084 | ۲۸ |
| 17 | 18 | 25 | 306816 | ٣. |
| 18 | 17 | 23 | 367209 | |
| 16.5 | 16 | 26% | 343865 | ٣٣ |

^{*} لم يتم حساب قيمة (K) وذلك لتكون فتحة في النموذج وتسرب الماء منها

7,1,7 التربة المرصوصة: ولدراسة تأثير الغسل على نسبة الجبس في التربة المرصوصة حضرت نماذج تربة وبنسبة جبس (35.5%) وبكثافة مساوية للكثافة الحقلية والمحتوى الرطوبي الحقلي وعرضت لفترات غسل مختلفة وبمقدار انحدار هيدروليكي (8=i)، والجدول (٥) يوضح نسبة الجبس لهذه النماذج بعد عملية الغسل للفترات المذكورة، حيث يلاحظ من هذا الجدول حصول نقصان في قيمة نسبة الجبس مع زيادة فترة الغسل كذلك مع حصول اختلاف (زيادة ونقصان) في قيمة كمية الماء الخارج من النموذج عند نهاية عملية الغسل، ونلاحظ أيضا أن قيمة نسبة الجبس في الجزء العلوي من النموذج هي اقل من قيمتها في الجزء السفلي منه، والسبب في ذلك يعود إلى حركة بعض جزيئات الجبس من القسم العلوي للنموذج واستقرارها في أسفله نتيجة عملية الغسل كما أن قابلية الماء على إذابة الجبس في بداية النموذج من الأعلى أكثر من نهايته من الأسفل أدى إلى حصول هذا الفرق في قيم نسب الجبس بالإضافة إلى ماذكر سابقا عن ظاهرة توزيع الجبس في التربة. كذلك أظهرت النتائج التي تم الحصول عليها أن عملية إزالة الجبس

The state of the s

مجلة العلوم والتطبيقات الهندسية

Journal of Science and Engineering Application ISSN 2521-3911

Volume: 7

من التربة غير المشوشة كانت أعلى من التربة المرصوصة وذلك لان عملية الرص أدت إلى سد القنوات التي كانت موجودة في التربة مما أدى إلى تأخير عملية إزالة الجبس من التربة

جدول ٥. يبين تغير قيم نسب الجبس مع الغسل للنماذج المرصوصة (i=8)

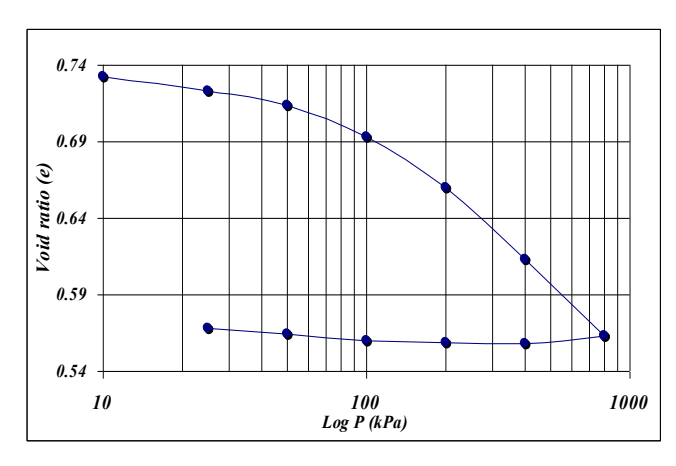
| نسبة الجبس بعد الغسل | | نسبة الجبس قبل الغسل % | Vol .f Leachate (cm³) | فترة الغسل يوم | |
|----------------------|---------------|------------------------|-----------------------|-------------------|--|
| أسفل الخلية % | أعلى الخلية % | | , | , | |
| 34 | 32 | 35.5 | 19170 | ١٤ | |
| 22 | 21 | 35.5 | ٤٣١٥٧. | ١٧ | |
| 24 | 23 | 35.5 | ٣٢٣٨٨. | 71 | |

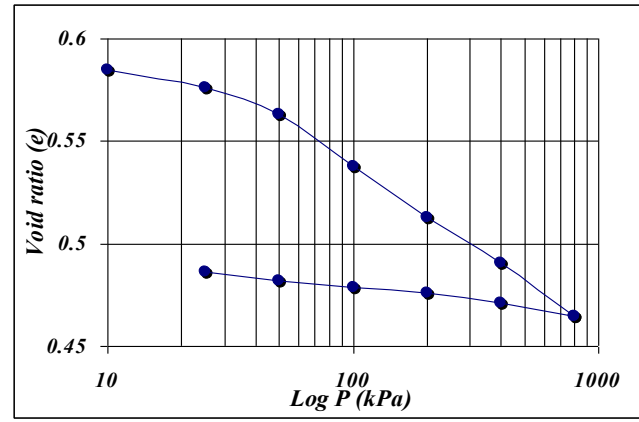
٢,٦. خصائص الانضمام

والجدول (٦) يبين خصائص الانضمام لهذه الترب. وأثناء إجراء تجربة الانضمام للترب الطبيعية (Β, Α) على التوالي، والجدول (٦) يبين خصائص الانضمام لهذه الترب. وأثناء إجراء تجربة الانضمام لوحظ استمرار انضغاط النموذج بعد مرحلة الانضمام الأولي، لذلك تم اعتماد فترة يومين (2 days) كفترة زمنية لإبقاء الحمل قبل تبديله (Loading duration time) لان تغير حجم النموذج كان قليلا نسبيا بعد هذه الفترة، وقد توصّل لهذه النتيجة أيضا (الصفّار، ٢٠٠٠)، حيث أن سبب هذا الانضغاط قد يعزى إلى استمرار الانضغاط الثانوي والتي تحدث في الترب الغرينية (Silty Soil)، فضلا عن وجود الجبس وغيره من الأملاح في التربة والتي قد تؤثر على الانضغاط الثانوي، ويلاحظ من هذه الأشكال انخفاض قيم نسبة الفراغات الأولية (٥) للتربة مع زيادة نسبة الجبس، إذ انخفضت هذه القيمة من (0.733) للتربة (β) إلى (0.585) للتربة ومن ثم تؤدي إلى حدوث زيادة في الكثافة ونقصان في قيمة نسبة الفراغات الأولية الفراغات الأولية ونقصان في قيمة دليل الانضغاط ("Cc") مع زيادة نسبة الجبس والسبب في ذلك يعود إلى انخفاض قيمة نسبة الفراغات الأولية عند زيادة نسبة الجبس لهذه التربة وقد يعود أيضا نفس السبب في ذلك يعود إلى انخفاض قيمة نسبة الفراغات الأولية عند زيادة نسبة الجبس لهذه التربة وقد يعود أيضا نفس السبب في حصول انخفاض في قيمة معامل الانضمام ("'Cc") إذ انخفضت قيمة هذا المعامل من (17.6 cm²/sec) للتربة السبب في حصول انخفاض في قيمة معامل الانضمام ("''Cc") إذ انخفضت قيمة هذا المعامل من (6.2 cm²/sec) للتربة (β) إلى (6.3 إلى التربة (β) عند نهاية التجربة.

الجدول ٦. خصائص الانضمام للتربة الطبيعية

| | Cv*10 ⁻⁴ (cm ² /sec) | Cs | Сс | Pc (kPa) | Void ratio (e∘) | نسبة الجبس(%) | Soil type |
|---|--|-----------|-------|----------|-----------------|---------------|--------------|
| | 6.6 | 0.021 | ٠,٠٨ | ٧. | 0.585 | 35.5 | Α |
| ſ | 17 6 | • , • • ٧ | •,101 | 125 | 0.733 | 27 | В |







Volume: 7

الشكل ٧. منحنى الانضمام للتربة الطبيعية (B)

الشكل ٦. منحنى الانضمام للتربة الطبيعية (٨)

نسب الجبس المختلفة والمغسولة المغسولة: توضح الجداول (٧، ٨) خصائص الانضمام لنماذج التربة الطبيعية (غير المشوشة) ذات نسب الجبس المختلفة والمغسولة للفترات المذكورة سابقا عند انحدار هيدروليكي (8=i) و (4=i)، نلاحظ من الجدول (٧) حصول زيادة في قيمة نسبة الفراغات الأولية بعد عملية الغسل والسبب في ذلك يعود إلى حصول ذوبان لجزيئات الجبس والأملاح نتيجة عملية الغسل فضلا عن حصول زيادة ونقصان في قيمة نسبة الفراغات الأولية (٥٥) مع زيادة فترة الغسل إذ كانت أعلى قيمة لها عندما كانت نسبة الجبس (%25) لفترة غسل (٨) أيام إلى (10.25)، أما اقل قيمة فقد كانت (٤٠,٠٠) عند نسبة جبس (%25) أيضا ولفترة غسل (١٥) يوما، ونلاحظ أيضا من الجدول (٩) أن أعلى قيمة لنسبة الفراغات الأولية (٥٩) كانت للنموذج المغسول لفترة (٣٣) يوم ولنسبة جبس (%25)، وقد يرجع سبب ذلك الاختلاف في هذه القيم إلى اختلاف طبيعة التربة نفسها من نموذج إلى أخر من حيث نسبة الجبس وهيكل التربة (إذ لوحظ في بعض النماذج وجود تكتلات لجزيئات الجبس في بعض المناطق دون المناطق من حيث نلاحظ من هذا الجدول أن قيمة نسبة الفراغات الأولية (٥٩) لنماذج التربة المأخوذة من الأسفل وقد يعود السبب إلى اختلاف نسبة الجبس نتيجة حركة بعض الجزيئات إلى الأسفل خلال عملية الغسل. وتوضح الأشكال (٨ إلى١٤) منحنيات الانضمام لنماذج التربة الطبيعية المغسولة للفترات المذكورة سابقا.

الجدول ٧. خصائص الانضمام لنماذج التربة غير المشوشة المغسولة (i=8)

| Cv*10 ⁻⁴ (cm ² /sec) | Cs | Сс | نسبة الفراغات(e ₀) بعد الغسل | نسبة الفراغات(e ₀) قبل الغسل | نسبة الجبس % | فترة الغسل يوم |
|---|-------|-------|--|---|--------------|----------------|
| ۸۹,۲٦ | 0.043 | 0.334 | 1.025 | 0.77 | 25 | ٨ |
| 21.71 | 0.034 | 0.191 | 0.84 | 0.613 | 25 | 10 |
| 15,59 | 0.035 | 0.226 | ٠,٩٥ | 0.73 | 30 | 71 |
| 2.38 | 0.057 | 0.272 | 0.963 | 0.622 | 27 | ٣. |

الجدول ٨. خصائص الانضمام لنماذج التربة غير المشوشة المغسولة (i=4)

| Cv*10 ⁻⁴ (cm ² /sec) | Cs | Сс | اغات (| (e0) نسبة الفر بعد الغسل | نسبة الفراغات (e ₀) قبل الغسل | نسبة الجبس % | فترة الغسل يوم |
|---|-------|-------|--------|-----------------------------|---|-----------------|-------------------|
| ۸٥,٩٩ | 0.037 | 0.208 | 0.875 | Up | | | |
| ٩,٤٨ | 0.025 | 0.158 | 0.760 | Down | ٠,٤٥٦ | 27 | ۲ |
| 70,50 | 0.034 | 0.202 | 0.914 | Remo. | | | |
| 70, £9 | 0.054 | 0.344 | 1,17 | | 0.642 | 25 | ١٤ |
| 77,77 | 0.046 | 0.283 | | 1.028 | 0.589 | 26 | 10 |
| 6.23 | 0.047 | 0.231 | 0.764 | Up | • , £ \ \ | 23 | 71 |
| 27.36 | 0.042 | 0.201 | 0.705 | Down | *,217 | 23 | 1 1 |
| 17,10 | 0.067 | 0.324 | 1.071 | Up | 0.64 | 0.04 | 7 £ |
| 13.87 | 0.046 | 0.286 | 1.059 | Down | 0.04 | 21 | 12 |
| 10.68 | 0.042 | 0.219 | 0.831 | Up. | ٠,٥١ | 77 | 7.7 |
| 19.28 | 0.036 | 0.217 | 0.915 | Distr.* | | | |
| ٧,٤٣ | 0.044 | 0.235 | | 1.00 | 0.41 | 25 | ٣٠ |



Volume: 7

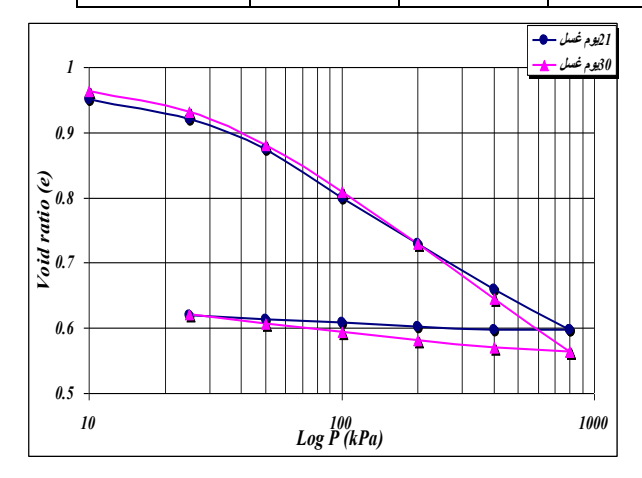
| ٧,•٢ | 0.060 | 0.259 | 0.98 | ٠,٦٥ | 23% | |
|------|-------|-------|------|-------|-----|----|
| ۸,۱۱ | 0.075 | 0.371 | 1,70 | 0.527 | 26 | ٣٣ |

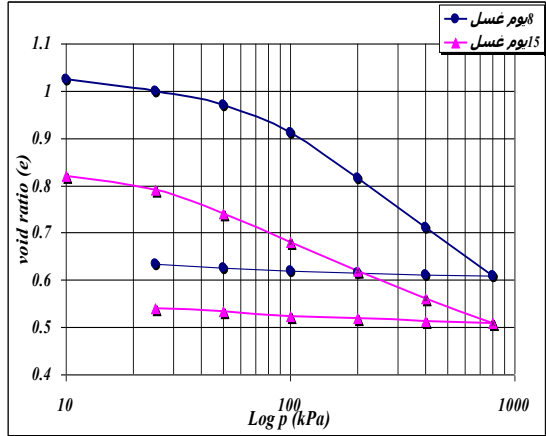
^{*} حصل تخلخل لهذا النموذج عند تحضيره لذلك تم اعتباره مخلخل

وكذلك يبين الشكل (١١) أيضا منحنيات الانضمام لهذه النماذج. ويلاحظ من النتائج الموضحة في الجدول أعلاه حصول نقصان في وكذلك يبين الشكل (١١) أيضا منحنيات الانضمام لهذه النماذج. ويلاحظ من النتائج الموضحة في الجدول أعلاه حصول نقصان في نسبة الفراغات الأولية (٥٥) بعد الغسل والسبب في ذلك قد يعود إلى احتمال أن قسم من الجبس غير ممياً وعند الغسل تعرض إلى التمياً فاز داد حجمه وبالتالي ادى إلى نقليل نسبة الفراغات الأولية، كذلك لوحظ أن نسبة الفراغات كانت (0.589) للنموذج المغسول لفترة (١٤) يوما وأصبحت (1٤٥) للنموذج المغسول لفترة (١٧) يوما، إن عملية غسل التربة تؤدي إلى إز الة الجبس مما يسبب زيادة نسبة الفراغات وبنفس الوقت تمياً الجبس الذي يؤدي إلى نقصان في نسبة الفراغات وتداخل هاتين الظاهرتين أدت إلى القيمة المنكورة في الجدول (٩)، وتبين الجداول (٨،٨٠١) حصول زيادة ونقصان في قيمة دليل الانضغاط "CC" مع زيادة فترة الغسل للنماذج المأخوذة من النموذج عن النماذج المأخوذة من الأسفل المناذج غير المشوشة والمرصوصة، فضلا عن أن هذه القيمة للنماذج المأخوذة من النموذج عن النماذج المأخوذة من الأسفل المنصاح ول زيادة نسبة الفراغات الأولية التي أدت إلى زيادة قيمة هذا المعامل لبعض النماذج المأخوذة من الجزء السفلي هي أعلى من قيمتها للجزء العلوي والسبب في ذلك قد يعود إلى أن عملية الغسل أدت إلى ترسب بعض المأخوذة من المؤلية من القسم العلوي للنموذج واستقرارها في الجزء السفلي مما أدّى إلى حصول نقصان في قيمة (CV).

الجدول ٩. خصائص الانضمام لنماذج التربة المرصوصة المغسولة (i=8)

| Cv*10 ⁻⁴ (cm ² /sec) | Cs | Сс | نسبة الفراغات (e°) بعد الغسل | نسبة الفراغات (e°) قبل الغسل | نسبة الجبس % | فترة الغسل يوم |
|---|--------|--------|------------------------------------|------------------------------------|-----------------|-------------------|
| 35.1 | 0.0246 | 0.1097 | 0.589 | 0.605 | 35.5 | ١٤ |
| 11.21 | 0.0068 | 0.1110 | 0.578 | 0.598 | 35.5 | ١٧ |
| 30.13 | 0.0209 | ٠,١٠٧٢ | 0.581 | 0.676 | 35.5 | ۲١ |



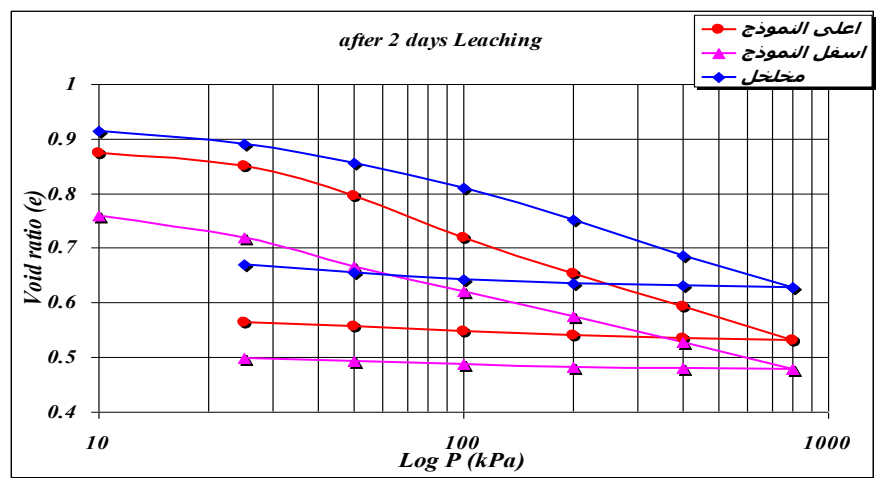


الشكل(٩)منحنيات الانضمام لنماذج التربة غير المشوشة (8=i)

الشكل (٨) منحنيات الانضمام لنماذج التربة غير المشوشة (i=8)

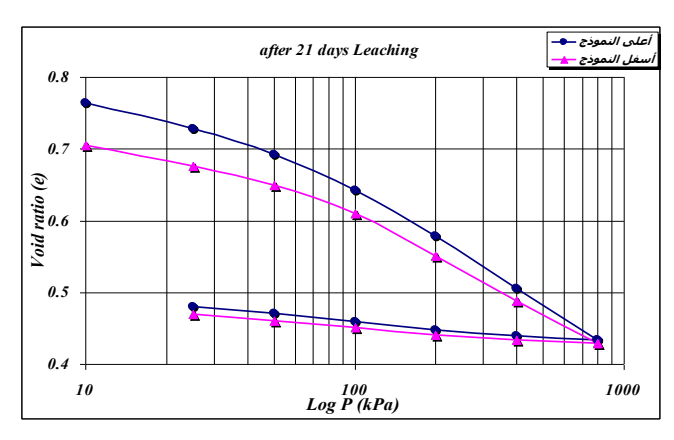


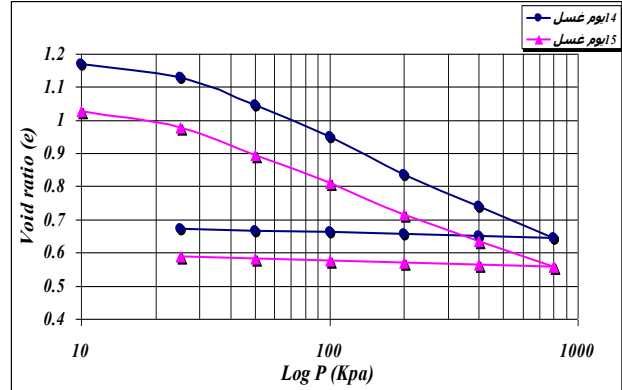
Volume: 7



الانضمام لنماذج

الشكل (۱۰) منحنيات الشكل (۱۰) منحنيات التربة غير المشوشة (i=4)

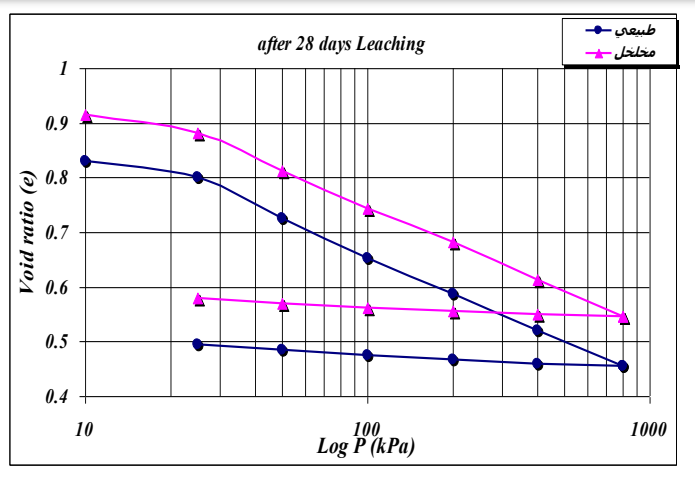


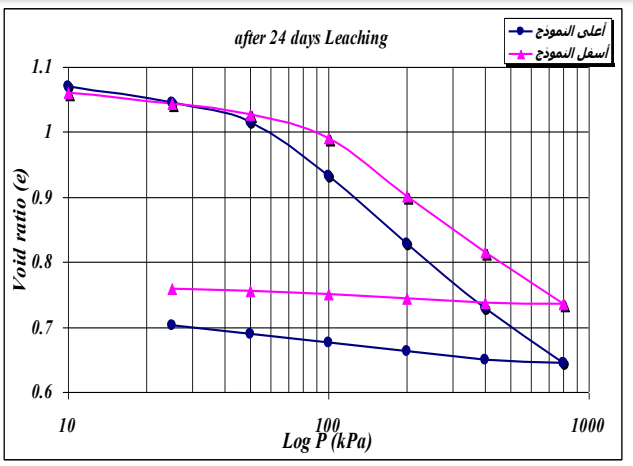


الشكل (١١) منحنيات الانضمام لنماذج التربة غير المشوشة (i=4)

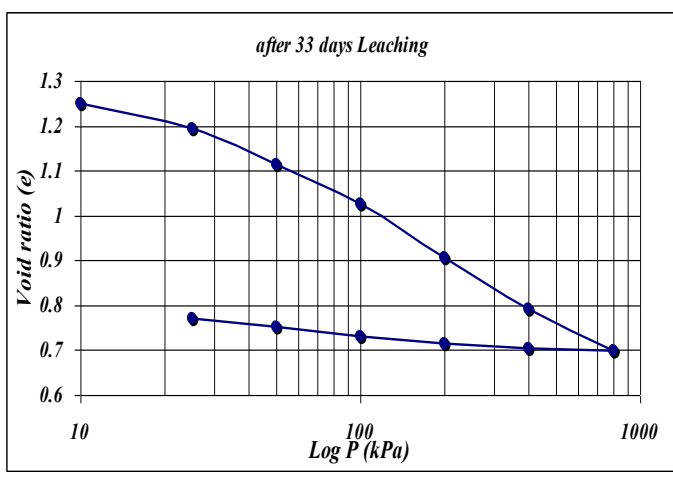


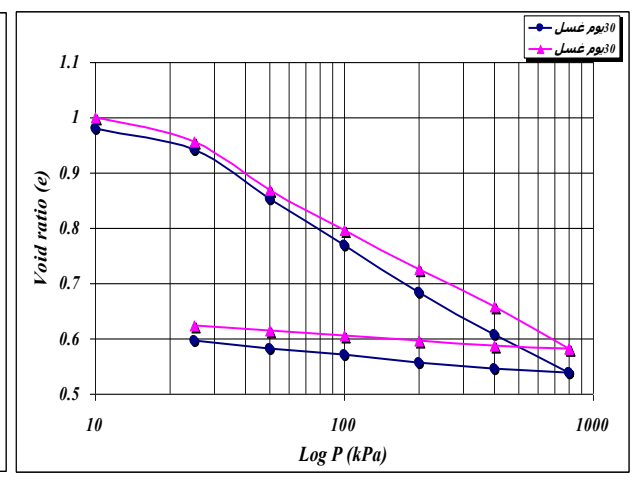
Volume: 7





الشكل(١٢) منحنيات الانضمام لنماذج التربة غير المشوشة (i=4)



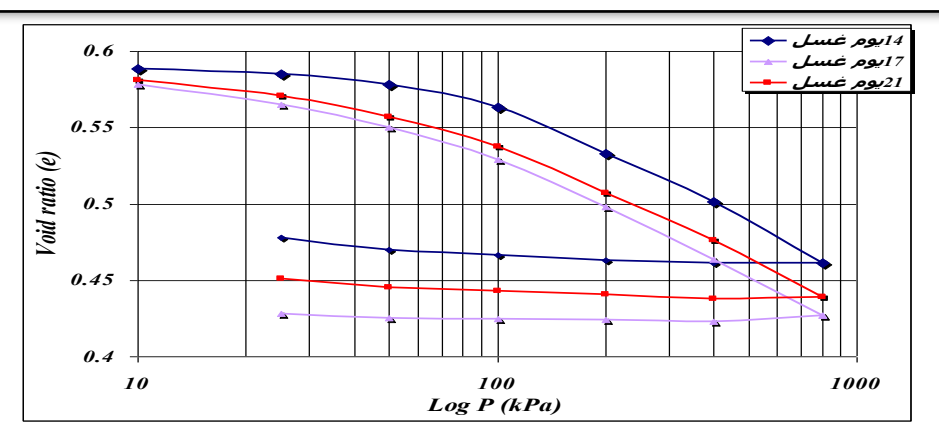


الشكل(١٣) منحنيات الانضمام لنماذج التربة غير المشوشة (i=4)



Journal of Science and Engineering Application

Volume: 7



الشكل (١٤) منحنيات الانضمام لنماذج التربة المرصوصة (١=٤)

٧. التوصيات للاعمال المستقبلية:

- ١. در اسة تاثير الغسل على نفاذية التربة الجبسية تحت تاثير شحنة قليلة اقل من ٤
- ٢. دراسة تغيير الخصائص الهندسية للترب الجبسية الحاوية على نسب مختلفة من الجبس وتحت تاثير شحنات مختلفة.

٨. الاستنتاجات

من خلال هذه الدراسة تم التوصل الى الاستنتاجات الاتية:

- 1. الترب ذات المحتوى الجبسي العالي وكما هو في التربة التي دراستها لايمكن تصنيفها حسب نظام التصنيف الهندسي الموحد وذلك لكون مادة الجبس مادة ذائبة وازالتها يؤدي الى فقدان نسبة عالية من التربة والتي تؤثر على الخصائص الهندسية للتربة.
 - ٢. تزداد كمية الجبس المزال مع زيادة سرعة جريان المياه اثناء عملية الغسل.
 - ٣. تتحول التربة بعد عملية الغسل (تربة المحلبية) الى تربة رخوة جدا وتكون رطوبتها اعلى من قيمة حد السيولة.

٩. المصادر

- 1. AL-Dabbagh. T. H, & Hammo. N. I, (1990) "Effect of Increasing Gypsum content on some Physical Properties of top Soil", University of Mosul Department of Irr. And Drainage Engineering.
- 2. AL-Obydi, M. A. (1992) "Lime Stabilization of Gypseous Soils", M.Sc. Thesis, Civil Engineering Department, College of Engineering, University of Mosul.
- 3. James, A. N. and Lupton, A. R. R. (1978) "Gypsum and Anhydrite in Foundations of Hydraulic Structures", Journal of Geotechnical Engineering, ASCE, Vol.28, No.3, pp.249-272.
- 4. Petrukhin, V. P. & Boldyrev, C. B. (1978) "Investigation of the Deformability of Gypsified Soils by Static Load", Soil Mechanics & Foundation Engineering, Vol.15, No.3, pp.178-182.



Journal of Science and Engineering Application ISSN 2521-3911

Volume: 7

- 5. Ramiah, B. K. (1982) "The effect of Chemicals on Compressibility and Strenght of Baghdad Silty clay", Building Research center, Baghdad.
- 6. Singh, R. B. & Al-Layla, M. T. (1979) "An Investigation in to the Deformability of Mosul Clay", Proceeding of 6th Asian Regional Conference on Soil Mechanics & Foundation Engineering, Pp.87-90.
- 7. Van Alphen, J. G. and Romero, F. D. R. (1971) "Gypsiferous Soils", Bulletin–12, International Institute for Land Recommendation and Improvement, Wageningen, Holland.

٨- الدليمي، فوزي خضر خلف (1989) " تأثير المحتوى الجبسي على قوة وتشوه تربة طينية معجونة "، رسالة ماجستير، كلية الهندسة ـ جامعة صلاح الدين.

٩- القيسى، عوف عبد الرحمن (٢٠٠٠) "إقامة المنشآت على الترب الجبسية" الجامعة التكنولوجية.

١٠ - خضير، رسل أحمد (٢٠١٨) "خصائص الغسل تحت تأثير الأحمال غير المتجانسة للترب الجبسية المثبتة بالمواد فائقة النعومة " رسالة ماجستير، كلية الهندسة - جامعة بغداد.